

# Реализация 3-х проходного метода быстрого автоматического дифференцирования

А.Ю. Горчаков

**Аннотация**— В статье рассматривается реализация 3-х проходного метода быстрого автоматического дифференцирования. Добавление к стандартному 2-х проходному методу еще одного прохода приводит к существенному уменьшению потребления оперативной памяти, при незначительном (25%) увеличении количества вычислений. Приведены оценки производительности и требований к объему оперативной памяти 2-х и 3-х проходного методов. Проведен численный эксперимент на примере обратной задачи восстановления начальных данных для уравнения переноса.

**Ключевые слова**— оптимальное управление, быстрое автоматическое дифференцирование, уравнение переноса, обратная задача восстановления начальных данных.

## I. ВВЕДЕНИЕ

При численном решении задач оптимизации часто используются градиентные методы минимизации функций, которые требуют умения вычислять не только значения оптимизируемых функций, но и их градиентов. При этом крайне важно вычислять точные значения градиентов за минимально возможное время.

Вычисление градиентов методом конечных разностей иногда связано с большими трудностями, и занимает достаточно много времени в случае задач большой размерности.

Более перспективным представляется использование методологии быстрого автоматического дифференцирования (обобщенная БАД-методология, см. [1]-[4]). Но, при очевидных преимуществах БАД-методологии, таких как, точное вычисление градиента, независимость времени расчета от размерности вектора управлений, имеется и определенный недостаток, а именно – высокие требования к объему оперативной памяти. Указанный недостаток начинает широко проявляться при решении задач оптимального

Работа выполнена при финансовой поддержке РФФИ, проект 16-07-00458 А, программы Президиума РАН I.5 "Интеллектуальные информационные технологии и системы".  
А.Ю. Горчаков – ведущий математик Вычислительного центра им. А.А. Дородницына Федерального исследовательского центра «Информатика и управление» Российской академии наук. andrgor12@gmail.com

управления на сетках большой размерности.

В данной статье рассматривается методика уменьшения используемого объема оперативной памяти, за счет незначительного увеличения объема вычислений. Методика реализована автором в модифицированной версии пакета быстрого автоматического дифференцирования Adept [8]. Рассмотрение проводится на примере обратной задачи восстановления начальных данных для уравнения переноса. Необходимо отметить, что идея уменьшения требований к объему оперативной памяти не является абсолютно новой, в частности похожий метод (называемый revolve) можно найти в пакете ADOL-C [9].

## II. МЕТОДОЛОГИЯ БЫСТРОГО АВТОМАТИЧЕСКОГО ДИФФЕРЕНЦИРОВАНИЯ

Пусть  $z \in R^n$  и  $u \in R^r$  векторы. Дифференцируемые функции  $W(z, u)$  и  $\Phi(z, u)$  определяют отображения  $W: R^n \times R^r \rightarrow R^1$ ,  $\Phi: R^n \times R^r \rightarrow R^r$ . Вектора  $z$  и  $u$  удовлетворяют следующей системе из  $n$  нелинейных скалярных уравнений  $\Phi(z, u) = 0$ . Если матрица  $\Phi_z^T(z, u)$  невырождена, то сложная функция  $\Omega(u) = W(z(u), u)$  дифференцируема и ее градиент относительно переменных  $u$  вычисляется по формуле:

$$\frac{d\Omega}{du} = W_u(z(u), u) + \Phi_u^T(z(u), u) \cdot p, \quad (1)$$

где вектор  $p \in R^n$  находится из решения линейной алгебраической системы:

$$W_z(z, u) + \Phi_z^T(z, u) \cdot p = 0, \quad (2)$$

Здесь и далее индекс  $T$  обозначает транспонирование, нижние индексы  $z, u$  обозначают частные производные функций по векторам  $z$  и  $u$ :  $W_u = \frac{\partial W}{\partial u}$ ,  $W_z = \frac{\partial W}{\partial z}$ ,  $\Phi_u^T = \frac{\partial \Phi^T}{\partial u}$ ,  $\Phi_z^T = \frac{\partial \Phi^T}{\partial z}$ , так же будем обозначать  $i$ -е,  $j$ -е компоненты векторов  $z$  и  $u$  как  $z_i, z_j, u_i, u_j$ .

Предположим, что каждый компонент вектора  $z_i$  последовательно выражается только через компоненты вектора  $u$  и предыдущие  $z_j$ , т.е.  $l \leq j < i$ , тогда формулы (1)-(2) можно записать в следующем виде:

$$p_i = \sum_{j=i+1}^n \Phi_{z_j}^T(z, u) p_j + W_{z_i}(z, u) \quad (3)$$

$$\frac{d\Omega}{du_i} = W_{u_i}(z, u) + \sum_{j=1}^n \Phi_{u_j}^T(z, u) \cdot p_j \quad (4)$$

Системы (3)-(4) называют явными [1], и возникают они, например, в задачах оптимального управления, если интегрирование проводится по явным схемам и по некоторым неявным схемам.

Для примера рассмотрим подробно дифференцирование скалярной функции двух переменных:

$$f(u_1, u_2) = u_2 \sin(u_1) + u_1 * u_2, \quad (5)$$

в точке  $u_1 = 0.3, u_2 = 0.5$ .

Вычисление значения этой функции представим, как последовательность формул, содержащих арифметические действия и основные элементарные функции:

$$\begin{aligned} i = 1 & \quad z_1 = \sin(u_1) & \quad \sin(0.3) = 0.296 \\ i = 2 & \quad z_2 = u_2 * z_1 & \quad 0.5 * 0.296 = 0.148 \\ i = 3 & \quad z_3 = u_1 * u_2 & \quad 0.3 * 0.5 = 0.15 \\ i = 4 & \quad z_4 = z_2 + z_3 = f(u_1, u_2) & \quad 0.148 + 0.15 = 0.298 \end{aligned}$$

Переходя от одной формулы к другой в сторону увеличения индекса  $i$ , вычисляем значение функции. Далее в обратном порядке определяем компоненты вектора  $p$  и все частные производные функции по независимым переменным  $u$ .

$$p_4 = 1.0, p_3 = p_2 = p_1 = \frac{\partial f}{\partial u_2} = \frac{\partial f}{\partial u_1} = 0$$

$$\begin{aligned} i = 4 & \quad p_3 = p_3 + p_4 = 1.0 \\ & \quad p_2 = p_2 + p_4 = 1.0 \\ i = 3 & \quad \frac{\partial f}{\partial u_1} = \frac{\partial f}{\partial u_1} + u_2 * p_3 = 0.5 * 1.0 = 0.5 \\ & \quad \frac{\partial f}{\partial u_2} = \frac{\partial f}{\partial u_2} + u_1 * p_3 = 0.3 * 1.0 = 0.3 \\ i = 2 & \quad \frac{\partial f}{\partial u_2} = \frac{\partial f}{\partial u_2} + z_1 * p_2 = 0.596 \\ & \quad p_1 = p_1 + u_2 * p_2 = 0.5 * 1.0 = 0.5 \\ i = 1 & \quad \frac{\partial f}{\partial u_1} = \frac{\partial f}{\partial u_1} + \cos(u_1) * p_1 = 0.978 \end{aligned}$$

Можно представить процесс вычислений в виде информационного графа (см. рис.1), в таком случае говорят, что сначала расчеты ведутся слева-направо, а затем справа-налево.

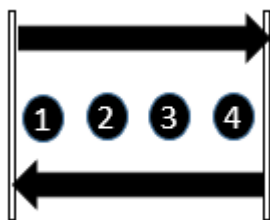


Рис.1 графическое представление процесса вычислений

В работе [10] дана оценка временной сложности вычисления градиента  $T_g/T_0 \leq 3$ , где  $T_0$  полное время, требуемое для вычисления значения функции,  $T_g$  дополнительное время, требуемое для вычисления всех частных производных функции; оценка дана без учета времени, необходимого для работы с памятью компьютера. Напомним, что в случае численного дифференцирования для расчета градиента требуется

времени не менее  $(1+n)T_0$ , где  $n$  число необходимых нам частных производных.

Необходимо отметить, то что при вычислениях требуется сохранять в памяти компьютера значения компонентов векторов  $z$  и  $p$ . Для многих задач оптимального управления, решаемых конечно-разностными методами, это означает, что необходимый объем памяти прямо пропорционален количеству узлов расчетной сетки. Например, для расчетной сетки с  $4.8 * 10^{11}$  узлами и вычислениями с двойной точностью (8 байт на число) потребовалось бы порядка 7 терабайт памяти.

### III. ПОСТАНОВКА ЗАДАЧИ ВОССТАНОВЛЕНИЯ НАЧАЛЬНЫХ ДАННЫХ

Рассмотрим задачу восстановления начальных данных для одномерного уравнения переноса пассивной примеси в жидкости движущейся с постоянным значением скорости:

$$\frac{\partial \varphi}{\partial t} + c \frac{\partial \varphi}{\partial x} = 0, c = 1, (x, t) \in Q, \quad (6)$$

$$\varphi(x, 0) = w_1(x), \quad x \in [0, 1], \quad (7)$$

$$\varphi(0, t) = w_2(t), \quad t \in (0, 1]. \quad (8)$$

Здесь  $x$  – пространственная координата;  $t$  – время;  $c$  – скорость движения жидкости;  $\varphi(x, t)$  – концентрация примеси в точке  $x$  в момент времени  $t$ ; прямоугольник  $Q = (0, 1) \times (0, 1)$ ;  $w_2(x)$  – заданная функция, определяющая концентрацию примеси в точке  $x=0$ ;  $w_1(x)$  – искомая функция, определяющая концентрацию примеси в начальный момент времени. Пусть на прямой  $x+t=1$  задана функция  $\bar{\varphi}(x, t)$ , где  $(x, t \in Q)$ . Ее можно рассматривать как концентрацию примеси, полученную в результате некоторых экспериментальных исследований. Поставим следующую задачу: требуется определить оптимальное управление  $u_*(x) = w_{1*}(x)$  и соответствующее решение  $\varphi_*(x, t)$  системы (6)-(8), при котором интегральный функционал

$$W(u) = \frac{1}{2} \int_0^1 [\varphi(x, 1-x) - \bar{\varphi}(x, 1-x)]^2 dx \quad (9)$$

достигал бы минимально возможного значения.

Задачи, подобные этой, обычно решаются численно с помощью некоторого метода спуска, который требует знания градиента функционала (9).

Перейдем к дискретному варианту системы (6)-(8). Для этого покроем прямоугольник  $Q$  регулярной расчетной сеткой с шагами  $h=1/J$  и  $\tau=1/N$ , где  $N$  – количество интервалов по времени, а  $J$  – количество интервалов по оси  $x$  (для удобства расчетов возьмем  $N$  кратным  $J$ , т.е.  $N=k*J$ ). Используем хорошо известную схему «уголок», аппроксимирующую уравнение (6) на трехточечном шаблоне с первым порядком точности:

$$\frac{\varphi_j^{n+1} - \varphi_j^n}{\tau} + c \frac{\varphi_j^n - \varphi_{j-1}^n}{h} = 0, \quad (10)$$

$$\varphi_j^0 = w_{1j} = u_j, \quad (11)$$

$$\varphi_0^n = w_2^n, \quad (12)$$

$$W(u) = \frac{1}{2} \sum_{j=1}^J (\varphi_j^{N-k*j} - \bar{\varphi}_j^{N-k*j})^2, \quad (13)$$

где  $\varphi_j^n = \varphi(x_j, t_n)$ ,  $\bar{\varphi}_j^n = \bar{\varphi}(x_j, t_n)$ ,  $x_j = jh$ ,  $t_n = n\tau$ ,  $\varphi_j^0 = w_{1j} = u_j = u(x_j)$ ,

$$\varphi_0^n = w_2^n = w_2(t_n), 0 \leq j \leq J, 0 \leq n \leq N.$$

Требуется найти вектор  $u$ , при котором сложная дискретизированная функция  $W(u)$  принимает минимальное значение.

#### IV. ОПИСАНИЕ МЕТОДИКИ ВЫЧИСЛЕНИЯ ГРАДИЕНТА 3-Х ПРОХОДНЫМ МЕТОДОМ

С целью снижения требований к объему памяти, предлагается использовать 3-х проходный метод автоматического дифференцирования. Идея метода основана на том, что для «явных» по времени разностных схем вычисления можно остановить, сохранив один временной слой  $\Phi^n$  – значения  $\varphi_j^n, 1 \leq j \leq J$  (или несколько временных слоев, в зависимости от используемой разностной схемы), а затем продолжить их в любой момент используя сохраненные значения. Иначе говоря, для таких разностных схем можно делать «контрольные точки». Используя эту особенность, разобьем расчетную сетку по оси времени на  $M$ -групп, с  $K=N/M$  временных слоев в каждой группе и будем хранить в памяти только последний временной слой в каждой группе и временные слои, относящиеся к текущей группе. Приведем описание метода.

##### МЕТОД 3X

1. Разбить расчетную сетку по оси времени на  $M$  групп, с  $K=N/M$  временных слоев в группе.
2. В цикле по  $n$  от 1 до  $(M-1)*K$  выполнить
  - a. вычислить  $\Phi^n$ ,
  - b. для  $n = K, 2K, \dots, (M-2)*K$  сохранить  $\Phi^n$  в памяти
3. Для группы  $M$  вычислить  $\Phi^n$  и частные производные  $\frac{\partial W}{\partial \varphi_j^{(M-1)K}}, 1 \leq j \leq J$
4. В цикле по  $m$  от  $M-1$  до 1 выполнить
  - a. вычислить  $\Phi^m$ ,
  - b. вычислить  $\frac{\partial W}{\partial \varphi_j^{(m-1)K}}, 1 \leq j \leq J$
5. как градиент функционала  $W(u)$  вернуть  $\frac{\partial W}{\partial \varphi_j^0}, 1 \leq j \leq J$

Графически этот метод можно представить следующим образом:

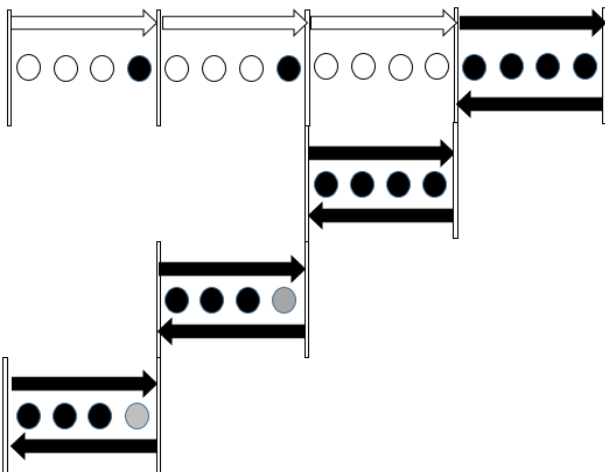


Рис.2 графическое представление метода 3X.

Здесь черные стрелки представляют собой классические проходы слева-направо и справа-налево, а белые стрелки это дополнительный проход, при котором вычисляются и запоминаются промежуточные временные слои  $\Phi^n$ . Белые шарики - временные слои рассчитанные, но не хранящиеся в памяти; черные – рассчитанные и сохраненные; серые – рассчитанные ранее.

Легко показать, что временная сложность вычисления градиента для 3-х проходного метода  $T_g/T_0 \leq 4$ . При этом в оперативной памяти необходимо хранить значения  $\varphi_j^n$  в  $J*(M-2+K)$  и значения компонентов вектора  $p$  в  $J*K$  узлах расчетной сетки. При оптимальном выборе  $M$  требования по памяти уменьшаются с  $J*N$  до  $J*2*\sqrt{2}*N$ . Для расчетной сетки 16000x48000 вместо 11.4 Гб потребуется 75.6 Мб оперативной памяти.

Метод 3X реализован как дополнительный программный модуль в пакете быстрого автоматического дифференцирования Adept функцией класса Stack:

`compute_adjoint3X(double *x, double *g, int N, int M, adouble (*F_k)(const adouble *x, const int n1, const int n2, adouble *PHI) ),` где  $x$  – вектор независимых переменных,  $g$  – вектор частных производных функции,  $N$  – количество интервалов по времени,  $M$  – количество групп,  $F_k$  – ссылка на пользовательскую функцию, которая принимая как параметры вектор  $x$ ,  $n1$  и  $n2$  индексы начала и конца группы, возвращает значение функционала и PHI – вектор  $\Phi^n$ .

#### V. ЧИСЛЕННЫЙ ЭКСПЕРИМЕНТ

Задача (6)-(9) решалась при начальном условии:

$$w_1(x) = e^{-\left(\frac{x-0.2}{0.07}\right)^2} + e^{-\left(\frac{x-0.4}{0.07}\right)^2} \quad (14)$$

$$w_2(t) = 0$$

Разностная схема и вычисление функционала были записаны на языке C и продифференцированы с помощью программного пакета Adept [8]. Вычисления производились на персональном компьютере с процессором Intel Core i7-4770, 3.4 GHz, 8Gb оперативной памяти. Значение функционала  $W(u)$  и его частных производных вычислялось в точке

$$u(t) = \bar{\varphi} \left( \frac{1+x}{2} \right), \quad (15)$$

на трех расчетных сетках различной размерности, стандартным методом и методом 3X. Графики  $w_1(x), u(x)$ , приведены на рис.3

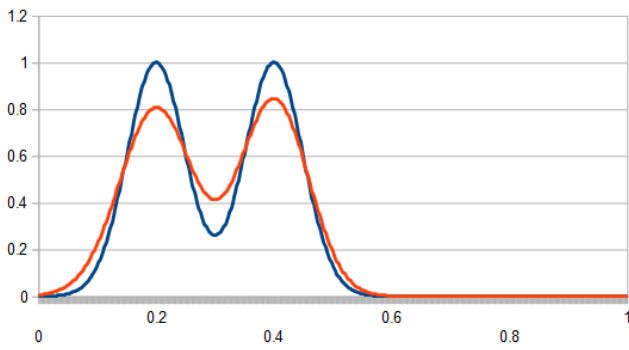


Рис. 3 Графики функций (14) – синяя линия и (15) – красная линия

Значение  $M=N/600$  (т.е. 600 временных слоев в группе). Значения частных производных функционала вычисленных обоими методами совпали друг с другом с машинной точностью. Для расчетной сетки 1 оба метода используют только оперативную память, при этом метод 3X работает немного медленнее чем стандартный метод. Для расчетной сетки 2 стандартный метод БАД начинает использовать более медленную виртуальную память компьютера, соответственно наблюдается уменьшение скорости его работы. При переходе к расчетной сетке 3 скорость работы стандартного метода БАД уже значительно меньше скорости работы метода 3X.

Необходимо отметить, что программный пакет Adept сохраняет в оперативной памяти не только значения в узлах расчетной сетки, но и дополнительные внутренние переменные, поэтому объем используемой оперативной памяти выше расчетной.

Таблица 1. Сравнение стандартного метода БАД и 3X

№№	Расчетная сетка ( $J \times N$ )	Использованная память стандарт/3X (Мб)	Время расчетов стандарт/3X (сек)
1	4000x12000	2197.8/110.8	4.1/5.8
2	8000x24000	8790.5/222.8	53.3/29.6
3	16000x48000	35158.4/450.6	1429.2/127.0

## VI. ЗАКЛЮЧЕНИЕ

В работе рассмотрена реализация 3-х проходного метода быстрого автоматического дифференцирования для задач оптимального управления. Метод реализован

как дополнительный программный модуль в пакете быстрого автоматического дифференцирования Adept. По сравнению со стандартным методом БАД существенно снижены требования к оперативной памяти компьютера (вместо линейной зависимости объема оперативной от количества интервалов по времени  $N$ , получена зависимость  $2\sqrt{2N}$ ), при незначительном (на 25%) увеличении объема вычислений. Особенно актуально использование метода при расчетах на GPU (графические ускорители), так как в отличие от CPU, которому можно предоставить 1Тб и более оперативной памяти, для видеокарт и профессиональных графических ускорителей существует ограничение 16/32Гб.

Метод применим для задач оптимального управления любой размерности по пространственным координатам. Единственное требование, предъявляемое к разностным схемам – возможность делать «контрольные точки». Метод совместим с большинством современных пакетов автоматического дифференцирования. В случае необходимости дополнительного снижения требований к оперативной памяти можно, добавляя вспомогательные проходы, получать методы 4X, 5X и т.д.

## VII. БИБЛИОГРАФИЯ

- [1] Айда-Заде К.Р., Евтушенко Ю.Г. Быстрое автоматическое дифференцирование // Математическое моделирование, 1989. V. 1, pp. 121-139.
- [2] Евтушенко Ю.Г., Мазурик В.П. Математическое обеспечение оптимизации. М: Знание. 1989.
- [3] Evtushenko Y.G. Automatic differentiation viewed from optimal control theory. Proceedings of the Workshop on Automatic Differentiation of Algorithms: Theory, Implementation and Application. Philadelphia: SIAM, 1991.
- [4] Griewank A., Corliss G.F., eds. Automatic Differentiation of Algorithms. Theory, Implementation and Application. Philadelphia: SIAM, 1991.
- [5] Горчаков А.Ю., Посыпкин М.А. Эффективность методов локального поиска в задаче минимизации энергии плоского кристалла. Международный научный журнал «современные информационные технологии и ИТ-образование». – 2017. – V. 13. – N. 2. – pp. 97-102.
- [6] Евтушенко, Ю. Г., Лурье, С. А., Посыпкин, М. А., Соляев, Ю. О. (2016). Применение методов оптимизации для поиска равновесных состояний двумерных кристаллов. Журнал вычислительной математики и математической физики, 56(12), 2032-2041.
- [7] Turkin A., Thu A. Benchmarking Python Tools for Automatic Differentiation. International Journal of Open Information Technologies. – 2016. – V. 4. – N. 9.
- [8] Hogan R. J. Fast reverse-mode automatic differentiation using expression templates in C++. ACM Transactions on Mathematical Software (TOMS). – 2014. – V. 40. – N. 4. – pp. 26.
- [9] Griewank A., Walther A. Algorithm 799: revolve: an implementation of checkpointing for the reverse or adjoint mode of computational differentiation. ACM Transactions on Mathematical Software (TOMS). 2000. V. 26. N. 1. pp. 19-45.
- [10] Евтушенко Ю.Г. Оптимизация и быстрое автоматическое дифференцирование. Научное издание ВЦ РАН, 2013.

# The implementation of a 3-pass method for fast automatic differentiation

Andrei Y. Gorchakov

**Abstract**— in this paper, we consider the implementation of the three-pass method of fast automatic differentiation. Adding one more pass to the standard 2-pass method leads to a significant decrease in the consumption of RAM, with an insignificant (25%) increase in the number of calculations. Estimates of performance and requirements for the amount of RAM of 2 and 3-pass methods are given. A numerical experiment is performed on the example of the inverse problem of reconstructing the initial data for the transport equation.

**Keywords**— optimal control, fast automatic differentiation, transport equation, inverse problem of recovering initial data.